

بررسی جریان سه بعدی هوا در یک محفظه

احمد رضا عظیمیان* و سیامک محمدی وند**

دانشکده مهندسی مکانیک، دانشگاه صنعتی اصفهان

(دربافت مقاله: ۱۳۷۷/۲/۲ - دریافت نسخه‌نهایی: ۱۳۷۸/۷/۱۷)

چکیده - آگاهی از وضعیت جریان هوا در یک محفظه در مسائل تهیه مطبوع از اهمیت ویژه‌ای برخوردار است. در روش‌های سنتی، بارگرمایی با استفاده از جدولهای موجود به دست می‌آید و سیمای جریان سیال به تصویر کشیده نمی‌شود. با حل عددی جریان سیال در داخل یک فضای خاص می‌توان تصویر کامل و جامعی از جریان هوا را ارائه کرد. برای انجام این مهم، معادله‌های ناویر-استوکس سه بعدی و معادله‌های لازم برای مدل کردن اختشاش یعنی معادله‌های $k-\epsilon$ -را به روش سیمپل حل می‌کنیم. نتایج به دست آمده تصویر جامعی از میدان جریان را ارائه می‌کنند که با نتایج عددی و تجربی موجود قابل مقایسه‌اند و در استفاده بهینه از فضاهای داخلی می‌تواند کمک شایانی باشد.

Investigation of 3-D Flow in a Chamber

A.R. Azimian and S. Mohammadi vand

Department of Mechanical Engineering, Isfahan University of Technology

ABSTRACT- Information about the flow conditions in a chamber is crucial in air conditioning problems. In conventional methods, the heating or cooling loads of the buildings are estimated through existing charts and no analysis of the flow structure is done. The numerical solution of flow equations provides a complete picture of the flow behaviour. This method requires the prior solution of Navier-Stokes equations. To model the Turbulence behaviour of the flow, the so called $k-\epsilon$ equations are also solved.

The predicted results are comparable with the existing numerical and experimental results and could be used in optimum design of indoor areas.

۱- مقدمه

اطلاع از وضعیت رفتاری جریان سیال در فضاهای بسته تغییر دفاتر کار، اتاقها و یا کارگاهها برای طراحان تأسیساتی و آرشیتکتها بی که فضای آرایی می‌کنند از اهمیت ویژه‌ای برخوردار است. این فضاهای به صورت حجمهای سه بعدی مکعب شکل هستند و برای ارزیابی دقیق جریان هوا باید آنها را به همان صورت سه بعدی مطالعه کرد. در این راستا محققان بسیاری در گذشته بررسیهایی را انجام داده‌اند

*- دانشیار **- دانشجوی کارشناسی ارشد

۲ - معادله‌های حاکم

برای حل این میدان جریان مغشوش از معادله بقای جرم و معادله‌های ممتوом در جهتهای x, y, z استفاده می‌شود. همچنین معادله‌های k -استاندارد برای مدل کردن اغتشاش به کار می‌روند. بدیهی است که این معادله‌ها را متوسطگیری کرده و جملات نوسانی را بر حسب مقادیر متوسط مدل می‌کنیم. شکل نهایی معادله‌ها به صورت است

$$\frac{\partial}{\partial x_i} \left(r^j \rho \ddot{u}_i \phi \right) = \frac{\partial}{\partial x_i} \left(r^j \Gamma_\phi \frac{\partial \phi}{\partial x_i} \right) + r^j s_\phi \quad (1)$$

در این پژوهش به دلیل پایین بودن سرعت جریان از تغییرات خفیف م صرف نظر کرده و بنابر این μ می‌تواند از داخل عملگر مشتق خارج شود. بالا نویس \ddot{u} که در معادله (۱) استفاده شده است برای حالت تقارن محوری در مسائل دو بعدی است و r^j فاصله شعاعی در این گونه مسائل است. مقدار r در مسائل با تقارن محوری و مختصات استوانه‌ای «۱» بوده و در بقیه مسائل (دو و سه بعدی) دکارتی «۰» است. مقادیر ϕ , Γ_ϕ , s_ϕ برای هر یک از معادله‌های حاکم به دست آمده از معادله (۱) در جدول (۱) و ضرایب مربوطه در جدول (۲) آمده‌اند.

در معادله‌های بالا

$$G = \mu_t \left\{ 2 \left[\left(\frac{\partial u}{\partial x} \right)^2 + \left(\frac{\partial v}{\partial y} \right)^2 + \left(\frac{\partial w}{\partial z} \right)^2 \right] + \left(\frac{\partial u}{\partial y} + \frac{\partial v}{\partial x} \right)^2 + \left(\frac{\partial u}{\partial z} + \frac{\partial w}{\partial x} \right)^2 + \left(\frac{\partial v}{\partial z} + \frac{\partial w}{\partial y} \right)^2 \right\} \quad (2)$$

$$\mu_{eff} = \mu_t + \mu \quad (3)$$

$$\mu_t = c_\mu \rho \frac{k^2}{\varepsilon} \quad (4)$$

۳ - روش حل معادله‌های جبری و شرایط مرزی

پس از تبدیل معادله‌های دیفرانسیل به معادله‌های جبری ساده، این معادله‌ها که به هم وابسته‌اند باید از روش‌های تکراری حل شوند. در اینجا از روش گوس - سایدل خط به خط استفاده می‌شود که سرعت همگرایی آن زیاد است. همگرایی در حل وقتی حاصل

که برخی از آنها تجربی، پاره‌ای تحلیلی و تعدادی هم بررسی عددی‌اند و در اینجا به بعضی از آنها اشاره می‌شود. در تاریخچه بررسی حل عددی جریانهای سه بعدی یکی از کارهای شاخص، کار پاتانکار و اسپالدینگ [۱] است. در این حل فرض شده که یک جهت غالب جریان وجود دارد و هیچ جریان برگشتی ایجاد نمی‌شود و به دلیل عدم برگشت جریان، میدان جریان پایین دست تأثیرکمی بر شرایط بالادست دارد. کارتو، کور و اسپالدینگ [۲] در کار عددی دیگری به بررسی جریان آرام در لایه مرزی سه بعدی پرداختند. در کار دیگری لاندر و اسپالدینگ [۳] برای حل جریانهای مغشوش مدل دو معادله‌ای k -استاندارد را ارائه کردند. پراتاب و اسپالدینگ [۴] جریان سیال و انتقال گرما در جریانهای سه بعدی داخل مجاري را بررسی کردند. این بررسی شامل مواردی بود که جریانهای با طبیعت «بخش سهمی»^۱ را در بر می‌گرفت. رودی و ریوایسا [۵] با بررسی جریانهای سه بعدی و کاربرد آنها در جریان متقاطع یک جت، محلهایی را که احتمال برگشت جریان وجود دارد را به صورت بیضوی و بقیه جریان را به صورت سهمی حل کردند. وانکا [۶و۷] روش چند شبکه‌ای برانت را برای پیش‌بینی جریانهای دو و سه بعدی در حالت دائم و آرام به کار برد و صرفه جویی حاصل از سرعت همگرایی ناشی از تغییر شبکه را نشان داد. کوربوشی و فنگ [۸] تحقیق جامعی را در مورد جریانهای سه بعدی داخلی با استفاده از مدل‌های اغتشاش ارائه دادند و جریانهای با هندسه‌های مختلف برای شبیه سازی محلهای مورد نیاز تهويه مطبوع را بررسی کردند. در بررسی حاضر با حل معادله‌های تاویر-استوکس سه بعدی در حالت مغشوش در داخل یک فضای سیال به طوری که هر گونه جریان برگشتی نیز در آن قابل پیش‌بینی باشد می‌توان تصویر کامل و جامعی از رفتار جریان هوای ورودی به یک اتاق، نحوه توزیع آن، مسیر جریانهای غالب و نواحی تشکیل گردابه‌ها را به دست آورد. نتایج چنین بررسی جامعی کمک شایانی در استفاده مطلوب و بهینه از فضای مورد نظر می‌کند. به طوری که اگر بخواهیم در آن فضا و سیله‌ای قرار دهیم که در معرض جریان هوای قرار داشته باشد که فرضًا خنک یا خشک شود، می‌توان به راحتی آن محل را مکانیابی کرد.

جدول ۱

ϕ	Γ_ϕ	S_ϕ	معادله
u	μ_{eff}	$-\frac{\partial p}{\partial x} + \frac{\partial}{\partial x} \left(\mu_{\text{eff}} \frac{\partial u}{\partial x} \right) + \frac{\partial}{\partial y} \left(\mu_{\text{eff}} \frac{\partial v}{\partial x} \right) + \frac{\partial}{\partial z} \left(\mu_{\text{eff}} \frac{\partial w}{\partial x} \right)$	اندازه حرکت درجهت x
v	μ_{eff}	$-\frac{\partial p}{\partial y} + \frac{\partial}{\partial x} \left(\mu_{\text{eff}} \frac{\partial u}{\partial y} \right) + \frac{\partial}{\partial y} \left(\mu_{\text{eff}} \frac{\partial v}{\partial y} \right) + \frac{\partial}{\partial z} \left(\mu_{\text{eff}} \frac{\partial w}{\partial y} \right)$	اندازه حرکت درجهت y
w	μ_{eff}	$-\frac{\partial p}{\partial z} + \frac{\partial}{\partial x} \left(\mu_{\text{eff}} \frac{\partial u}{\partial z} \right) + \frac{\partial}{\partial y} \left(\mu_{\text{eff}} \frac{\partial v}{\partial z} \right) + \frac{\partial}{\partial z} \left(\mu_{\text{eff}} \frac{\partial w}{\partial z} \right)$	اندازه حرکت درجهت z
k	$\frac{\mu_{\text{eff}}}{\sigma_k}$	$G - \rho \varepsilon$	انرژی اختناش
ε	$\frac{\mu_{\text{eff}}}{\sigma_\varepsilon}$	$\frac{\varepsilon}{k} (c_{1\varepsilon} G - c_{2\varepsilon} \rho \varepsilon)$	نرخ اتلاف اختناش

جدول ۲

c_μ	$c_{1\varepsilon}$	$c_{2\varepsilon}$	σ_k	σ_ε
۰/۰۹	۱/۴۴	۱/۹۲	۱/۰	۱/۲۲

روی داده‌های تجربی تخمین می‌زنند. در اینجا از نتایج تجربی کاتو [۶] استفاده می‌شود. شرط مرزی خروجی با فرض جریان توسعه یافته، گرادیان صفر است. برای جریان توسعه یافته باید آن قدر از میدان جریان اصلی فاصله گرفت که تأثیر شرایط موجود بر روی جریان خروجی به حد قابل صرف نظر کردن بررسد که در این حالت شکل و فیزیک مسئله باید قابلیت ایجاد جریان توسعه یافته را داشته باشد. برای مثال مسافت و زمان کافی در اختیار جریان باشد تا بدون مواجه شدن با موانع و تغییر جهتها به حالت توسعه یافته نزدیک شود که با ادامه شبکه در خروجی این کار عملی می‌شود. بنابراین

$$\frac{\partial \phi}{\partial \eta} = 0 \quad (5)$$

می‌شود که مجھول محاسبه شده در دو تکرار متوالی به عدد ثابتی رسیده باشد. بنا بر این تفاضل نسبی مجھول در دو تکرار و تساوی دو طرف معادله می‌تواند معیار همگرایی باشد. برای افزایش سرعت همگرایی قبل از محاسبه مجھولات در هر تکرار، ضریبی از مجھولات در معادله‌های حاکم قرار می‌گیرد و سپس معادله‌ها حل می‌شوند شرایط مرزی مختلف به کار رفته شامل ورودی جریان، خروجی جریان و دیوار صلب اند.

در ورودی کلیه اطلاعات و مشخصات سیال باید معلوم باشد، این اطلاعات شامل پروفیل سرعت، انرژی اختناشی و خواص اولیه سیال اند. در این بررسی پروفیل ورودی سرعت یکنواخت فرض می‌شود ولی جهت آن می‌تواند متغیر باشد. انرژی اختناش k و نرخ اتلاف آن که مقادیر ورودی آنها معمولاً معلوم نیستند را از

جريان ورودی در این نقطه به کف اتاق برخورد کرده و از آن به اطراف پخش می‌شود. در گوشۀ پایین سمت چپ به دلیل نزدیکی جريان پخش شده و جريانی که از گوشۀ آمده برخوردی به وجود می‌آید. در گوشۀ بالا سمت چپ که دریچه خروجی قرار دارد جريان مستقیماً به بیرون هدایت می‌شود. بنابراین، اين قسمت از جريان بدون گردش در اتاق از آن خارج شده و به همین دليل در بررسیهای با اتلاف انرژی باید سهم اين قسمت از جريان را به حداقل رسانید.

شكل (۱ - ب) به فاصله $y=۰/۲۶۷\text{m}$ از دیوار جنوبی قرار دارد. در اين مقطع هم ادامه اثر برخورد توده هواي منعکس شده از کف اتاق با گوشۀ های دیوار به شکل گردا به دیده می‌شود که چون فاصله زیادی از کف ندارد هنوز هم پخش شدن آن به اطراف آشکار بوده و در ضمن خارج شدن قسمتی از جريان از دهانه خروجی نیز ملاحظه می‌شود. در شکل (۱ - ج) با $y=۰/۷۹۹\text{m}$ تشکیل گردا به اصلی ملاحظه می‌شود. در این صفحه به علت وجود مانع آشتفتگی در جريان ملاحظه می‌شود. از آنجاکه جريان از دو سوی مانع لغزیده و در نقطه مرکز گردا به هم برخورد می‌کند در بالای مانع نیز گردا به ای تشکیل شده است. گردا به ای که در گوشۀ سمت راست پایین تشکیل شده ناشی از برگشت قسمتی از جريان از گردا به بالا ي است. در شکل (۱ - د) به دریچه ورودی نزدیک شده ايم، گردا به بزرگ اصلی برای همراهی با جريان ورودی به طرف محل دریچه ورودی هجوم می‌برد، بدین معنی که مرکز گردا به گوشۀ سمت چپ بالا نزدیک می‌شود. در شکل (۱ - ه) مرکز گردا به اصلی به دیوار غربی چسبیده است یعنی گردا به عملاً از بین رفته زیرا سرعت بالای جريان ورودی تمایل زیادي را در تمام صفحه برای همراه ساختن جريان با خود ایجاد کرده است. شکل (۱ - و) با $y=۰/۹۷۵\text{m}$ که در مسیر ورودی قرار دارد گردا به ای در آن تشکیل نشده است.

ب - صفحه $y-z$: شکل (۲ - الف) نزدیک دیوار پایینی بوده و مقطع آن در آستانه دریچه ورودی انتخاب شده است. در این شکل دو گردا به در دو گوشۀ پایین دیده می‌شود. علت تشکیل گردا به سمت چپ مشابه علت توضیح داده شده در شکل (۱ - الف) صفحه $y-z$ است و گردا به سمت راست از برخورد جريان پخش شده بر روی کف با دیوار شرقی ایجاد شده است. در این شکل همچنین هجوم جريان برای پیوستن به توده ورودی هوا قابل تشخیص است.

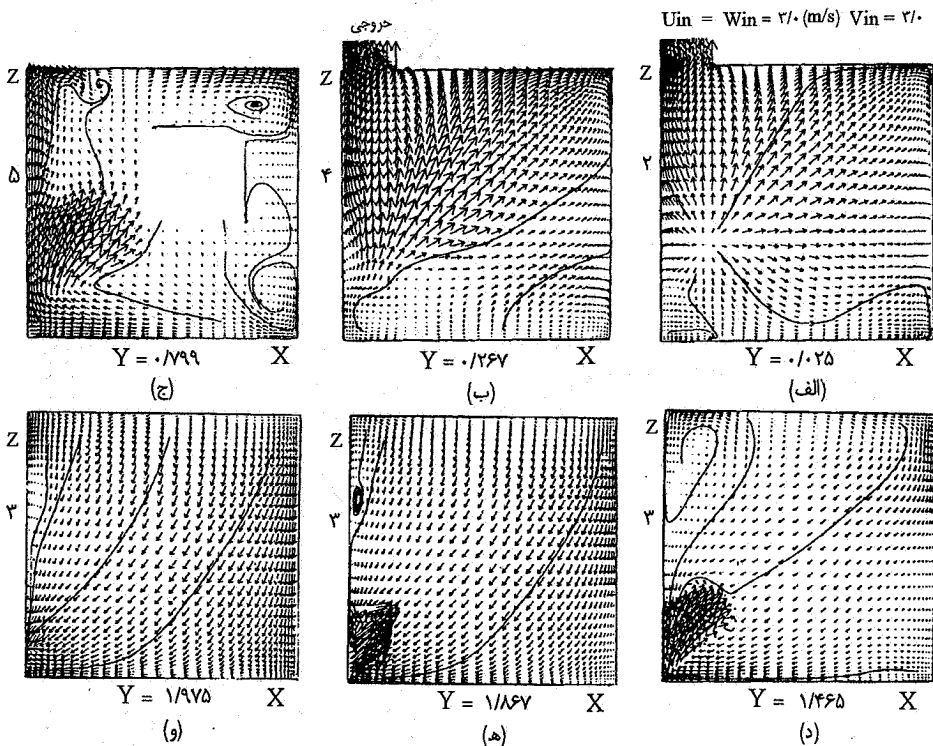
که در آن ϕ هر متغیر مجھول و θ جهت خروج جريان است. اعمال شرط مرزی بر روی دیوار صلب برای معادله های مختلف به صورت متفاوتی است. بر روی دیوار صلب تمام مؤلفه های سرعت صفر هستند.

۴- نتایج

برنامه را برای هندسه های مختلف اجرا کرده و نتایج آن را با کارهای تجربی و عددی تا حدی که اطلاعات مربوطه در دسترس بود مقایسه کردیم. اولین هندسه، اتاقی است به ابعاد $۲\times ۲\times ۲\text{m}$ با دریچه های ورودی و خروجی یکسان $۰/۳۶۶\times ۰/۳۶۶\text{m}$ که به ترتیب در وسط سقف و در گوشۀ پایینی دیوار عمودی قرار دارد که نتایج تجربی و عددی آن در مرجع [۸] ارائه شده است. برای به دست آوردن نتایج تجربی همان گونه که در مرجع [۸] آمده است اتاقی با ابعاد کامل با صفحات چوبی توسط ساکامو تو ساخته شد و سرعت متوسط و توزیع چند کمیت آماری با بادستج اولتراسونیک اندازه گیری شد. نتایج برنامه حاضر و نتایج عددی و تجربی مرجع [۸] تطابق خوبی را نشان می‌دهند که به علت محدودیت صفحات مقاله از ارائه آنها خودداری می‌شود. پس از مقایسه نتایج حاصل از اجرای برنامه، با نتایج مرجع [۸] و کسب اطمینان از صحبت کار برنامه آن را برای هندسه دیگری اجرا کردیم.

مسئله مورد بررسی اتاقی است به ابعاد $۴\times ۲\times ۴\text{m}$ با دو دریچه ورودی به ابعاد $۰/۲۹۸\times ۰/۷۵۹\text{m}$ و خروجی به ابعاد $۰/۷۵۹\times ۰/۲۵۹\text{m}$ که به ترتیب در صفحات $y-z$ و $y-x$ قرار دارند. ورود هوا از دریچه ورودی با سرعت برایند $۰/۵\text{m/s}$ (با مؤلفه های $w=۳\text{m/s}$ و $v=-۳\text{m/s}$) است. میدان جريان را به صورت بردارهای سرعت استخراج کرده و به عنوان تمنه در صفحات $(y-z)$ ، $(x-y)$ و $(x-z)$ شش مقطع را در فواصل مناسب انتخاب می‌کنیم تا بتوانیم با نشان دادن آنها الگوی جريان را در اتاق ارائه کنیم. حال به بررسی بردارهای سرعت در مقاطعی از صفحات سه گانه می‌پردازیم.

الف - صفحه $x-z$: شکل (۱ - الف) که به فاصله $۰/۰۲۵\text{m}$ از دیوار جنوبی قرار دارد به وضوح نمایش دهنده مسیر حرکت هوا بر روی کف اتاق است. نقطه ای که مرکز واگرایی برداره است. در واقع محل برخورد توده هواي ورودی است که به دلیل جهت رو به پایین

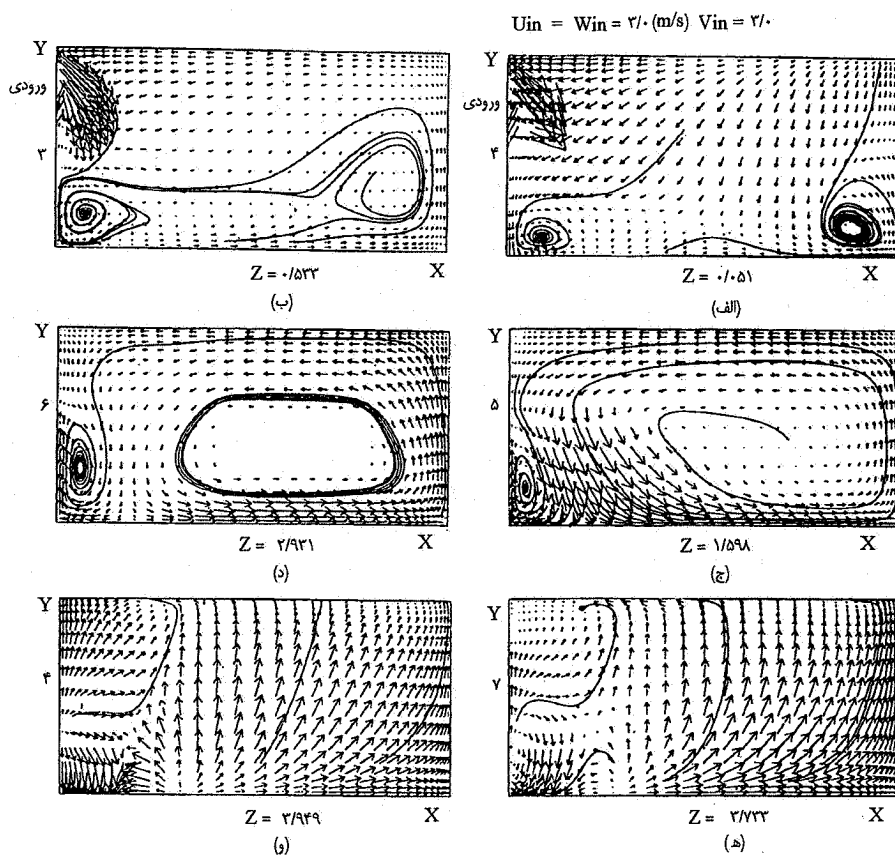


شکل ۱- بردارهای سرعت در صفحه X-Z

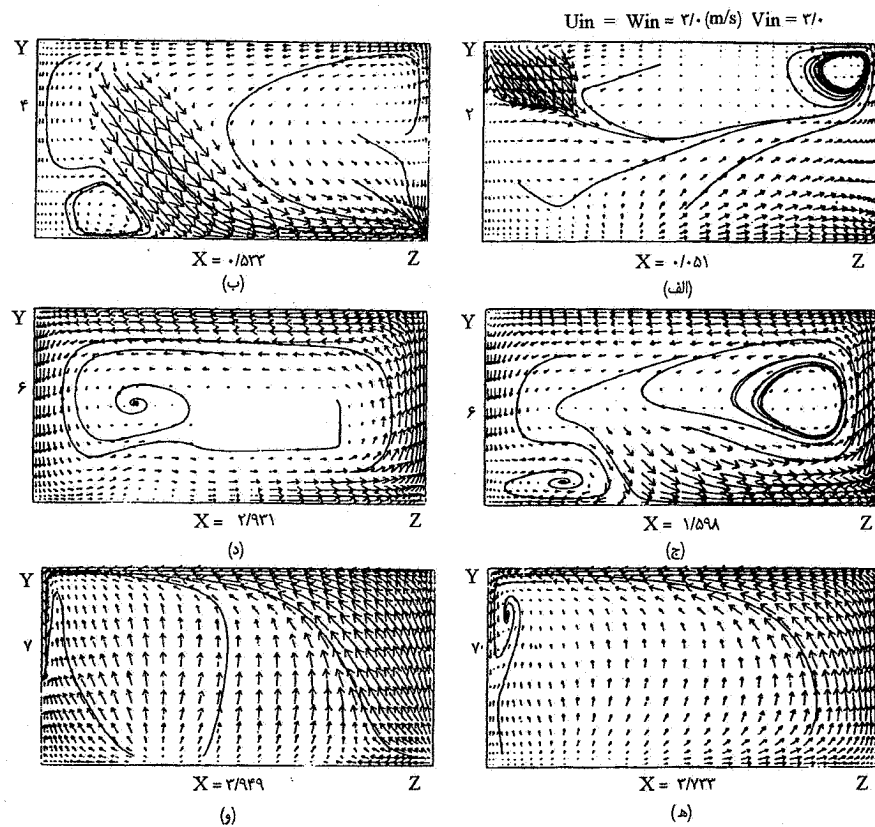
مکش ورودی و در دیوار جنوبی به علت مکش خروجی جدایی جريان دیده می شود. در شکل (۳- ب) با $z=0/533\text{m}$ ، گردابه اصلی صفحه y-z در حال شکل‌گیری است. در گوش پایین سمت چپ، گردابه به وجود آمده ناشی از برخورد جريان بالايی و پایينی است که در اثر نزديکی مقطع به محل برخورد توده هواي ورودی با کف و برگشت جريان ايجاد شده است. در شکل (۳- ج) با $z=1/598\text{m}$ با عبور از محل دریچه خروجی، گردابه اصلی شکل گرفته ولی در گوش پایین و در سمت چپ هنوز شاهد برخورد دو جريان پيش گفته هستيم. مرکز گردابه اصلی در نزديک صفحه بالايی و نزديک دریچه خروجی است. در شکل (۳- د) با رسيدن به مانع، گردابه ای در پشت آن تشکيل می شود ولی گردابه اصلی هنوز برقرار است و به علت غلبه جريان گردابه اصلی بر جريان برگشتی، از گردابه گوش پایین اثری دیده نمی شود. در شکل (۳- ه) که $z=3/733\text{m}$ است، شاهد تغيير محل مرکز گردابه به گوش بالا و سمت چپ هستيم. جدایي جريان در پایين شکل به علت نزديکی مقطع انتخاب شده به دیوار شرقی است که در اثر برخورد جريان کف اتاق با دیوار شرقی ايجاد می شود. شکل (۳- و) دارای آرایشي مانند شکل (۳- ه) است.

شکل (۲- ب) با $z=0/533\text{m}$ وسط دریچه ورودی انتخاب شده است. ملاحظه می شود که گردابه اصلی اين صفحه در اين مقطع تقريباً تشکيل شده است. شکل (۲- ج)، با $z=1/598\text{m}$ ، با که از دریچه ورودی عبور کرده و گردابه اصلی به وضوح و كامل قابل ملاحظه است. گردابه ای که در گوش سمت چپ پایین در حال شکل‌گیری است با گردابه ای که در همين محل در شکلهای (۲- الف) و (۲- ب) ملاحظه شد تفاوت دارد. علت تشکيل اين گردابه جديد وجود مانع است که قسمتي از جريان از آن عبور نکرده و با بازگشت خود اين گردابه را به وجود می آورد. اين گردابه در شکل (۲- د) با $z=2/931\text{m}$ كامل شده است. در اين شکل همچنین حرکت منظم جريان در امتداد گردابه وجود دارد که گوش بالايی سمت چپ هم تحت تأثير گردابه ياد شده قرار گرفته است. در شکلهای (۲- ه) و (۲- و) جريان هنوز تمایل به حفظ گردابه را دارد ولی با نزديك شدن به مقطع خروجی قسمتي از جريان از مسیر قبلی خارج و به بیرون می آزد.

ج - صفحه y-z: در شکل (۳- الف)، $z=0/05\text{m}$ است، از آنجا که ورودی جريان در اين صفحه قرار دارد، در سه محل در دیوار شمالی بر اثر مکش گردابه سمت راست، در دیوار تحتاني به علت



شکل ۲ - بردارهای سرعت در صفحه $y-x$



شکل ۳- بردارهای سرعت در صفحه y-z

جابه‌جاییهای لازم در موقعیت دریچه‌ها، تغییر جهت و یا سرعت جریان، و غیره... اثرات آنها را بر روی میدان جریان بررسی کرد. در هر حال از نتایج چنین تحلیلی می‌توان در بهتر تهویه کردن اتفاقهای کار، نشیمن، خواب، کارگاههای کوچک و بزرگ و یا دیگر فضاهای بهترین وجه ممکن استفاده کرد.

۵- نتیجه‌گیری

با بحث و بررسی انجام شده در بالابر روی میدان جریان، تصویر کامل و جامعی از وضعیت جریان هوا در هر نقطه اتاق به دست می‌آید و با داشتن چنین تحلیلی از میدان جریان هر گونه تصمیم‌گیری در مورد استفاده بهینه از فضای اتاق برای کاربردهای مختلف امکان‌پذیر می‌شود. ضمن اینکه می‌توان با انجام

واژه نامه

1. partially - parabolic

مراجع

- Patankar, S.V., and Spalding, D.B., "a Calculation Procedure for Heat, Mass and Momentum Transfer in the Three-Dimensional Parabolic Flows," *Int. Journal of Heat and Mass Transfer*, Vol. 15, pp. 1787-1806, 1971.
- Caretto, L.S., Curr, R.M., and Spalding, D.B., "Two Numerical Methods for Three-Dimensional Boundary Layer," *Comp. Meth. in Appl. Mech. and Eng.*, pp. 39-57, 1972.
- Launder, B.E., and Spalding, D.B., "The Numerical Computation of Turbulent Flows," *Comp. Meth. in Appl. Mech. and Eng.*, Vol. 3, pp. 299-289, 1973.
- Pratap, V.S., and Spalding, D.B., "Fluid Flow and Heat Transfer in Three-Dimensional Duct Flows," *Int. Journal of Heat and Mass Transfer*, Vol. 19, pp. 1183-1188, 1976.
- Rodi, W., and Rivatsa, S.K.S., " a Locally Elliptic Calculation Procedure for Three-Dimensional Flows and its Application to a Jet in a Cross-flow," *Comp. Meth. in Appl. Mech. and Eng.*, Vol. 23, pp. 67-83, 1980.
- Vanka, S.P., " a Calculation Procedure for Three-Dimensional Steady Recirculating Flows Using Multigrid Methods," *Comp. meth. in Appl. Mech. and Eng.*, Vol. 55, pp. 321-338, 1986.
- Vanka, S.P., "Block-Implicit Multigrid Calculation of Two-Dimensional Recirculating Flows," *Comp. Meth. in Appl. Mech. and Eng.*, Vol. 59, pp. 29-48, 1986.
- Kurbuchi, T., and Fang, J.B., " A Numerical Method for Calculating Indoor Airflows Using a Turbulence Model," NISRIT 89-4211, 1990.